

6. Рейцен Є.О., Бурба І.О. Місто - транспорт - економіка // Містобудування та територіальне планування. - К.: КНУБА, 2002. вип.12. - С.126-132.

7. Транспортне обслуговування населення як фактор сталого розвитку міста. Б.М.Абрамович, В.С.Марунич, І .М.Вакарчук, О.М.Смоловик, А.І .Ворон / Автошляховик України №3, 2002, с.11-13.

8. Третьяков И.М. Проблемы создания транспортных систем регионов. «Автотранспорт и перевозки», №10, 2003 р.

УДК 665.73/.753

## ДОСЛІДЖЕННЯ ДИНАМІЧНИХ ХАРАКТЕРИСТИК ГАЗОВОГО РЕДУКТОРА-РЕГУЛЯТОРА В СИСТЕМІ ЖИВЛЕННЯ ДВИГУНА З ІСКРОВИМ ЗАПАЛЮВАННЯМ

Дикий М.О., доктор технічних наук,

Петренко В.Г., кандидат технічних наук

Пятничко О.І. кандидат технічних наук,

Коваленко О.О. кандидат технічних наук

(Приведено результати дослідження покращення робочих процесів газоподачі бензогазової системи живлення ДВЗ. З використанням розробленої і перевіреної на адекватність математичної моделі досліджено вплив конструктивних параметрів газового редуктора-регулятора на його динамічні характеристики та показники якості. Показано, що швидкодія конструкції після оптимізації збільшилась на 25%.

Results of research into improvement of operating processes of gas supply to petrol-gas supply system of internal combustion engine are given. The influence of the constructive parameters of the gas reducer-regulator on its dynamic characteristics and quality coefficient is researched with the help of the developed mathematical model checked for adequacy. It is shown that the operating speed of the optimized assembly increased by 25%.

Як зазначають провідні експерти, із завершенням світової економічної кризи ціни на енергоносії і особливо на природний газ будуть зростати [1].

Як наслідок, використання СПГ в якості альтернативного моторного палива на автомобільному транспорті, за діючою нині однопаливною технологією (бензин або газ), в конвертованих бензинових двигунах з низьким ступенем

стиснення, виглядає доволі проблематичним. Окрім подорожчання газового палива цьому сприяє також і погіршення експлуатаційних показників газобалонних автомобілів [2].

В таких умовах застосування композитних палив (бензогазових сумішей) для живлення транспортних двигунів внутрішнього згоряння із залученням дешевих низькооктанових бензинів і СПГ дозволяє суттєво підвищити економічну мотивацію використання альтернативних моторних палив і отримати бажаний екологічний ефект.

В НТУУ “КПІ” та Інституті газу НАН України розроблено бензогазову технологію живлення автомобільних ДВЗ, яка початково була орієнтована на восьмициліндрові двигуни ЗМЗ-510, 513 з іскровим запалюванням для поширених в Україні вантажних автомобілів ГАЗ-53 та ГАЗ-3307.

До переваг цієї універсальної системи відносяться: реалізація трипаливного режиму роботи ДВЗ; автоматичне формування паливної суміші зі змінним октановим числом пропорційно до навантаження і швидкісного режиму двигуна, що дозволяє мінімізувати споживання газового палива транспортними засобами; зменшення зниження потужності двигуна на газовому режимі його роботи, за рахунок впорскування СПГ під надлишковим тиском. Ця оригінальна система побудована на спеціально розробленому редукторі-регуляторі (Р-Р) з керованим вихідним тиском газу [3, 4], який для дослідної експлуатації було реалізовано на конструктивній основі серийного газового редуктора 12.4404010.

Очевидно, що дослідний агрегат створений на базі редуктора газової системи живлення, яка працює за іншим (ежекторним) принципом, має певні резерви для вдосконалення і покращення характеристик.

Оскільки динамічні характеристики бензогазового ДВЗ безпосередньо залежать від швидкості подачі газового компонента сумішевого палива, то для покращення швидкодії редуктора-регулятора було проведено дане дослідження, що спрямоване на покращення його динамічних характеристик шляхом оптимізації конструктивних параметрів за допомогою математичного моделювання робочих процесів.

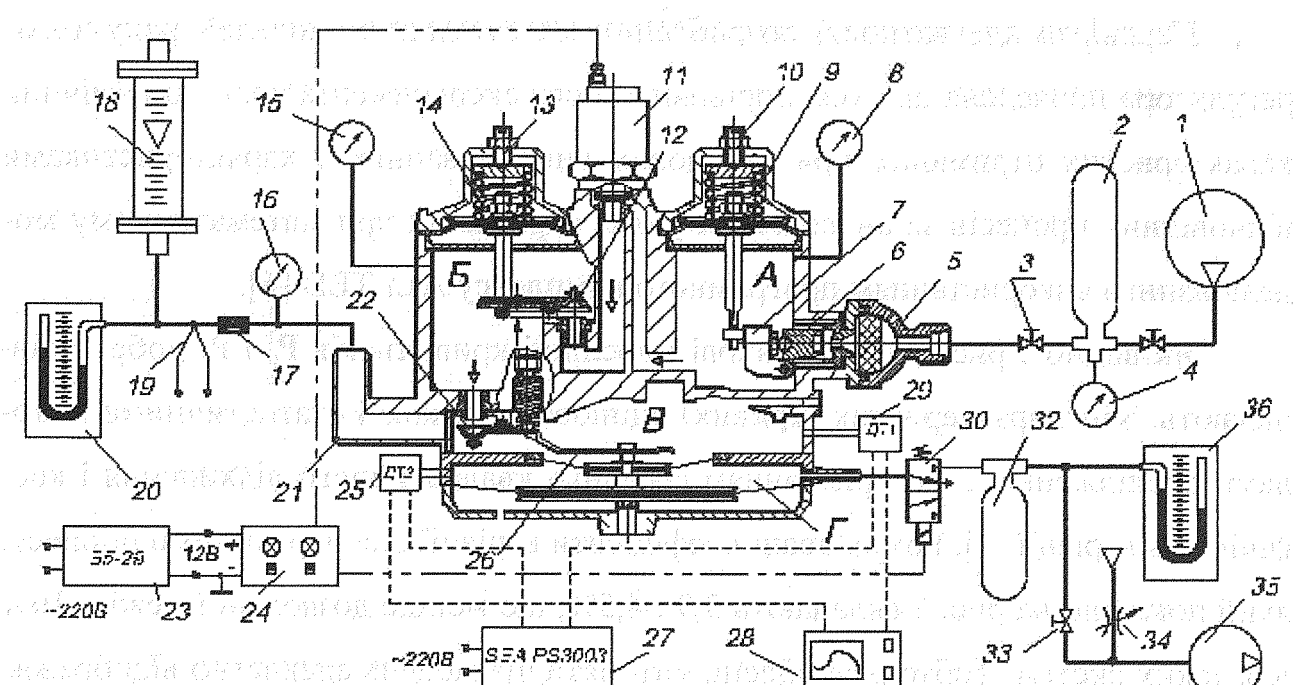
Для оцінки динамічних характеристик редуктора-регулятора та отримання необхідних даних для перевірки адекватності розробленої математичної моделі [5] було проведено осцилографування переходних процесів його вихідного ступеня (порожнини В і Г) на спеціальній установці, схема якої представлена на рис.1. Реєстрація процесів виконувалась лабораторним цифровим осцилог-

рафом 28 типу SEA C8-22M/1. Досліди проводились на стисненому повітрі, яке надходило до редуктора-регулятора з касети балонів поз. 2, в діапазоні тисків 18...5 МПа, з різними витратними жиклерами поз.17 при збільшенні і зменшенні витрати газу через Р-Р.

Для цього на вхід його вакуумної порожнини Г з балону 32 через електромагнітний розподільник 30 подавався стрибкоподібний керуючий сигнал  $P_d$  і реєструвалось відповідна реакція вихідного тиску  $P_3$  редуктора-регулятора в порожнині В.

Тиск повітря  $P_3$  і  $P_d$  в порожнинах редуктора-регулятора, вимірювався за допомогою датчиків абсолютноого тиску ДТ1 і ДТ2 типу MPX-4250A.

Відлік часових інтервалів переходного процесу здійснювався за часовою розгорткою на екрані осцилографа, яка для даного експерименту складала 100мс/под.



**Рис. 1. Схема установки для визначення динамічних характеристик редуктора-регулятора**

1 - компресор; 2-балони; 3-вітратний вентиль; 4,8,15,16-манометри; 5-вхідний штуцер Р-Р; 6, 12, 22-дросяльні клапани Р-Р; 7,26,31-важелі; 9, 14-пружини; 10, 13 –гвинти налаштування; 11-відсічний ЕМК; 17-вітратний дросель; 18-ротаметр; 19-термопара; 20, 36-водяні п'єзометри; 21 вхідний штуцер Р-Р; 23-блок живлення 12В; 24-пульт; 25, 29 – датчики абсолютноого тиску; 27-

блок живлення датчиків 5В; 28 – цифровий осцилограф; 30 – пневматичний розподільник; 32 – вакуумний балон; 33-вентиль; 34-дросельний пристрій; 35 вакуумний насос; 37-редуктор-регулятор.

На рис. 2 показана отримана осцилограма зміни керуючого вакууму  $\Delta P_d$  в порожнині Г і вихідного тиску  $P_3$  в порожнині В, Р-Р, під час перехідного процесу, що був викликаний відкриттям розподільника 30, і нанесені аналогічні криві:  $P_d=f(t)$  та  $P_3=f(t)$ , які отримані розрахунком на математичній моделі.

Видно, що час наростання вакуумного сигналу  $\Delta P_d$  з 0 до усталеного значення 3,1 кПа (після відкриття розподільника 30), в межах 5% коридору, складає 0,36 с. При цьому, надлишковий тиск повітря  $P_3$  на виході Р-Р починає збільшуватись після затримки біля 0,1с, відносно сигналу  $P_d$ , і досягає усталеного рівня 29,5 кПа через 0,4...0,45с.

Перевірка адекватності розроблених математичних моделей редуктора-регулятора проведена шляхом порівняння його експериментальних динамічних характеристик отриманих при стендових випробуваннях з характеристиками відповідних процесів за аналогічних умов, отриманих при математичному моделюванні з використанням програмного комплексу ALLTED [6].

Як видно з рис.2, розрахункові і дослідні криві тисків  $P_d$  і  $P_3$  добре співпадають. Збіг характеристик (кривих) оцінювався також і статистичними методами дослідження, з використанням середньо квадратичного відхилення і коефіцієнтів варіації [7]. Розраховані коефіцієнти варіації для перехідного процесу, який показано на рис. 2 складають 3,9 і 4,5%, що менше дозволеної межі – 10% для таких систем. Тобто розроблена математична модель адекватно відображає динамічні процеси газового редуктора-регулятора.

Розроблена математична модель дозволяє визначити довільні показники якості та дослідити вплив на них любого параметру, який використовується в моделі.

Для редуктора-регулятора, що розглядається показником якості була вибрана його швидкодія, яка оцінювалась за значенням часу регулювання  $t_p$  вихідного тиску  $P_3$ .

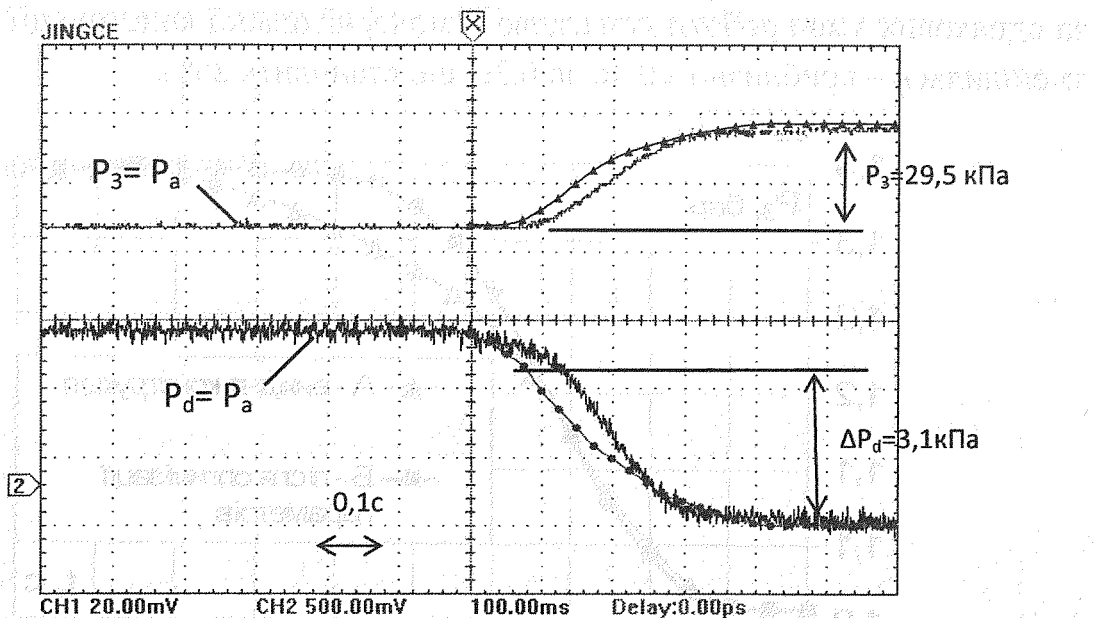


Рис.2. Переходний процес в РВГ при збільшенні витрати повітря

$P_a$  – атмосферний тиск; розрахункові залежності:  $\bullet - P_d=f(t)$  і  $\blacktriangle - P_3=f(t)$ ;

Час регулювання визначався, як це прийнято в теорії автоматичного регулювання [8], як проміжок часу від моменту подачі входного сигналу до моменту, коли значення вихідної величини зайде в 5-ти процентний коридор відносно її усталеного значення.

В процесі чисельного моделювання редуктора-регулятора було досліджено вплив на його динамічні характеристики та показники якості таких конструктивних параметрів, як діаметри жиклерів, об’єми робочих порожнин, маси рухомих частин, розміри мембрани та ін.

Аналіз отриманих результатів показав, що найбільш ефективними шляхами зменшення інерційності редуктора-регулятора даної конструкції, без суттєвого погіршення показників точності і стійкості регулювання вихідного тиску газу, є:

- максимальне зменшення паразитного об’єму  $V_p$  вакуумної порожнини

Г третього ступеня редуктора-регулятора;

- зменшення гіdraulічного опору на шляху подачі керуючого вакуумного сигналу до порожнини Г (діаметр отвору з’єднувального штуцера поз. 38);

- зменшення співвідношення плечей клапанного важеля поз. 26.

На рис.3 порівнюються графіки переходних процесів  $P_3=f(t)$ , які отримані в результаті чисельного експерименту, що повторює вище згадані натурні випробування агрегату (крива А) та після оптимізації його конструктивних параметрів (крива Б). Як видно, тривалість переходного процесу (час регулювання),

за однакових умов роботи початкової і модернізованої конструкції Р-Р, суттєво зменшилась – приблизно з 0,4с до 0,3с, що становить 25%.

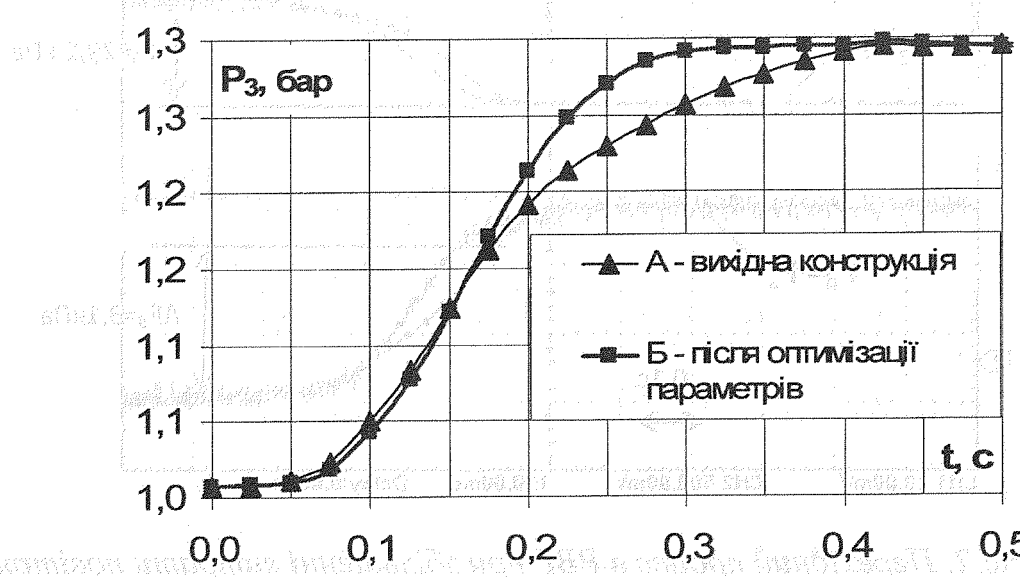


Рис.3. Покращення перехідного процесу редуктора-регулятора

Таким чином, отримана математична модель, дозволяє вести аналіз і проекцію діяльності підприємства та вивчення економічної ефективності та ефективності проектування газових регуляторів тиску для перспективних газорідинних систем живлення двигунів внутрішнього згоряння.

#### Література

1. Эксперт: Украина столкнется с серьезными проблемами, если не изменит энергетическую модель. [Электронный ресурс]. – Режим доступа: [www.kyivpost.com/ua/news/money/detail/84779/](http://www.kyivpost.com/ua/news/money/detail/84779/).
2. Гутаревич Ю.Ф., Матейчик В.П., Клименко А.А. Экономические и экологические показатели автомобилей при замещении бензина природным газом // Системні методи керування, технологія та організація виробництва, ремонту та експлуатації автомобілів. Київ: УТУ, ТАУ. -1997. - Вип.3.-с.46-50.
3. Дикий М.О., Петренко В.Г. Інжекторна бензогазова система живлення автомобільного ДВЗ // Системні методи керування, технологія та організація виробництва, ремонту та експлуатації автомобілів: Зб. Наук. Пр. – К.: УТУ, ТАУ. – 2002. – вип.13 – С. 175-182.
4. Пат. №33678 України F02M21/00 Система паливного живлення двигуна внутрішнього згоряння.
5. Петренко В.Г., Коваленко А.А., Сухоносов А.Ф., Чкалов А.В. Математическая модель редуктора-регулятора бензогазовой системы питания ДВС // Вестник НТУУ «КПІ» : Машиностроение. – К.: 2002. – вып. 42, т.2 – С.

64-68.

6. Оптимальное схемотехническое проектирование в машиностроении:  
Учеб. Пособие/ А.И.Петренко, В.В.Ладогубец, В.В.Чкалов. – К.: УМК  
ВО, 1989. – 164 с.
7. Громыко Г.Л. Общая теория статистики: Практикум. – М.: ИНФРА-М,  
1999. – 139 с.
8. Попов Д.Н. Динамика и регулирование гидро-пневмо систем. – М.: Ма-  
шиностроение, 1979. – 424с.